

## 並列システムによるテスト生成

蓑原 隆 上野 洋一郎 小夏 建司 当麻 喜弘

東京工業大学 情報工学科

論理回路の検査入力生成を並列システムで行なう方法を新しく提案する。本方式は、回路の出力で誤りを観測するための回路の入力を求める問題を、回路を出力から入力へ逆向きに探索することによって部分問題に分割し、各部分問題を並列に処理する。また、本方式の効果を評価するために、ハイパーキューブ接続、メッシュ接続等の並列システムでの本方式の処理のシミュレーションを行なった。その結果、どちらのシステムでも検査入力生成処理の高速化が得られることを確認した。

## Automatic Test Pattern Generation using Parallel Processing System

Takashi MINOHARA Yoichiro UENO Kenji KONATSU Yoshihiro TOHMA

Department of Computer Science, Tokyo Institute of Technology

2-12-1, Ookayama, Meguro-ku, Tokyo, 152, Japan

In this paper, a new ATPG method for parallel processing system is described. The problem to find patterns of primary inputs for observing errors at primary outputs is divided into subproblems by backward tracing a circuit from outputs to inputs, and each subproblem is solved in parallel. In order to estimate an efficiency of this method, its behavior on a hypercube connected computer and a mesh connected computer is simulated. The result shows it can speed up test generation on both systems.

## 1 はじめに

論理回路の大規模複雑化により、テスト入力生成問題はますます困難かつ重要になってきている。従来のテスト生成アルゴリズムの大部分は、目標とする単一の故障に対するテスト入力を生成するもの<sup>1),2)</sup>で、回路全体の故障に対するテスト入力集合を求めるためには、通常、故障シミュレーションと組み合わせて処理を行なう。これまで、テスト生成処理の高速化手法として、発見的手法を用いて解の探索を有利に導く方法<sup>3),4)</sup>が報告される一方、並列処理による高速化を行なうために、故障集合を分割して各部分の故障に対するテスト生成を並列に処理する方法<sup>5),6)</sup>が提案されている。

テスト生成処理は対象回路の出力で誤りを観測するための入力の条件を求める問題と考えられる。本報告で我々は、回路を出力から入力に向かって逆向きに探索することにより問題を部分問題に分割し、並列に処理する方法を新しく提案する。本方式は、目標故障を設定してテスト入力を求める方法でないため故障シミュレーションを必要としないこと、処理結果として得られた各テストパターンで検出可能な故障の情報が得られることなどの特徴を持つ。また、本方式の処理をモデル化し、計算機シミュレーションによってハイパーキューブ接続、メッシュ接続等の並列システム上でのテスト生成処理時間短縮の効果を評価する。

## 2 並列テスト生成法

以下、本方式が対象とする回路は、AND, OR, NOT, NOR, NAND, XOR, XNOR から構成された組合せ回路であり、対象とする故障は、信号線の單一縮退故障(s-a-0 または s-a-1)である。また、信号線の状態を表すシンボルとして 0, 1, D,  $\bar{D}$  および\*を用いる。0(1) は、信号線の値が 0(1) であることを、D( $\bar{D}$ ) は、信号線が 1 から 0(0 から 1) に誤る誤りを、\*は、信号線の値が不定であることを表す。

### 2.1 問題の分割による並列処理

回路の故障は回路にテスト入力を与え、出力で誤りを観測することによって検査される。したがって、対象回路の Primary Output(以下 PO とする) で誤りが観測されるための Primary Input(以下 PI とする) の条件を作成することによってテスト入力を生成できる。

PO の誤りは、その出力をドライブしているゲートの出力に誤りが現れるときに観測される。これはゲートの出力信号線に故障がある場合、あるいはゲートの入力の誤りが出力まで伝搬した場合のいずれかであり、前者は正常時の

出力を得るために入力をゲートに与えればよいことから、ゲート出力に誤りが現れるための PI の条件を求める問題は、ゲート入力を適切な状態にするための PI の条件を求める問題に変換できる。このときのゲート入力の状態はただ一つ定まるわけではなく、誤りの伝搬のしかたなどによって複数の状態が考えられ、そのいずれもが故障を検査している状態になり得る。例えば、図 1 の回路の出力 L1 で誤り  $\bar{D}$

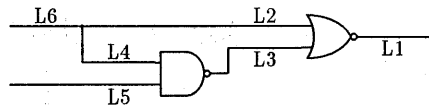


図 1: 回路例 1

が観測されるのは、NOR ゲートの入力に誤りが伝搬する { L2 = D, L3 = 0 }, { L2 = 0, L3 = D }, { L2 = D, L3 = D } および NOR ゲートの出力自身に故障がある場合 { L2 = 1, L3 = \* }, { L2 = \*, L3 = 1 } の 5 通りの状態に変換される。

ゲートの入力の状態は、すなわち、そのゲートをドライブしているゲートの出力、あるいはそのゲートの入力が PI となっている場合は PI の状態であるから、ゲートの入力を特定の状態にするための PI の条件を求める問題は、そのゲート入力をドライブするゲート出力または PI を適切な状態にするための PI の条件を求める問題に変換できる。ただし、複数の入力信号線を持つゲートの場合、各入力信号線が同時にその状態になることが要求される。したがって、各入力信号線それぞれを与えられた状態にするための PI の条件をすべて満たす PI の条件が得られたとき、その PI の条件が当該ゲートの入力を与えられた状態にするための PI の条件になる。図 1 の NOR ゲートの入力が { L2 = D, L3 = 0 } となるための PI の条件は、L2 を D とする PI の条件として { L6 = 1 }, L3 を 0 とする PI の条件として { L5 = 1, L6 = 1 } が得られたら、{ L5 = 1, L6 = 1 } で与えられる。

このように、PO で誤りが観測されるための PI の条件を求める問題を入力側の問題に順次変換していくことにより、最終的に各 PI を与えられた状態にするための PI の条件を求めるという問題にまで分割できる。この問題の解は、与えられた PI の状態の無故障時の値を PI に入力するという条件で与えられ、この解を使って今度は出力側に向かって問題を解いていくことにより、目的のテスト入を作成できる。したがって、テスト生成処理は、ゲート出力を与えられた状態にするための PI の条件を求める処理(以下この処理を OR 処理と呼ぶ) およびゲート入力を与えられた状態にするための PI の条件を求める処理(以下この処理を AND 処理と呼ぶ) を次々に起動していくことによりな

される。

OR 处理、AND 处理の内容は、それぞれ次のようになる。

- OR 处理

1. 出力の状態とゲートの種類から入力の状態を生成する。
2. 入力の各状態ごとに、AND 处理を起動し、結果を得る。
3. 各状態についての処理結果を統合する。

- AND 处理

1. 入力の状態から各入力信号線をドライブしているゲートの出力の状態を得る。
2. 各信号線ごとに、OR 处理を起動し、結果を得る。
3. 各信号線から得られた結果を同時に満足する PI の条件を作成する。

図 1 の回路に対する各処理の起動をグラフで表すと図 2 のようになる。図において上から下に向かって処理の起動

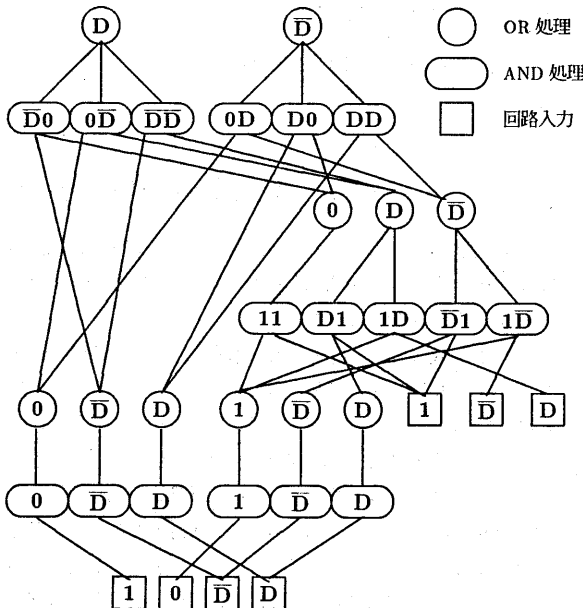


図 2: 回路例 1 のテスト生成処理

が進み、逆に下から上に向かって処理結果が渡される。親子関係にない処理は結果の受渡しを行なわないため、並列に処理することが可能である。

## 2.2 テスト候補と故障情報

ある故障を検査できるテストが求まったとき、そのテストはその故障の影響である誤りが伝搬する経路上の故障を

同様に検査可能である。したがって、本テスト生成法において回路中のゲートの入出力を与えられた状態にするための PI の条件すなわちテスト候補を作成する際に、誤りが伝搬する経路上の故障の情報を付加していくことにより、最終的に求められたテストで、回路中のどの故障を検査できるかの情報を得ることができる。ただしファンアウト、再収斂を含む回路では、故障の影響が複数の信号線を伝搬することによるセルフマスキングや多重経路による故障検出等を考慮しなければならない。

セルフマスキングの例として、図 1 の回路で、L2 に誤り ( $1 \rightarrow 0$ ) が現れ、L3 に正常値 0 が現れることにより PO に誤りが伝搬する状態の処理を考える。L2 に誤り ( $1 \rightarrow 0$ ) が現れるための条件 (1)、L3 に正常値 0 が現れる条件 (2) はそれぞれ次のようにになるが、

$$\text{回路入力: } (L6=1) \quad \text{故障: } (L6 \text{ s-a-0}, L2 \text{ s-a-0}) \quad (1)$$

$$\text{回路入力: } (L6=1, L5=1) \quad \text{故障: } () \quad (2)$$

L6 の s-a-0 による誤りは L6 から L2 へと伝搬するだけでなく、L4, L3 と伝搬するため、L3 に正常値が得られず、L6 の s-a-0 は検出できない。したがって故障の情報から L6 の s-a-0 を取り除く必要が生じる。

このようなセルフマスキングや多重経路による故障検出等に対応するため、本方式では、故障情報に fanout stem(FOS) の状態を加え、FOS の状態を考慮して故障情報の更新を行なっている。例えば上記の例では、条件 (1) で L6 の s-a-0 は FOS である L6 に誤りが伝搬してもよいときに誤りを伝えること、条件 (2) で誤りが伝搬してこない場合には FOS L6 に誤りが伝搬してはいけないことを情報として持たせ。L6 の s-a-0 は 2 つの条件を同時に満足しないので故障情報から削除する。セルフマスキング、多重経路伝搬を処理するための FOS の情報を含めたテスト候補の定義および表記法を図 3 に示す。

故障情報は AND 处理において複数のテスト候補からそれらを同時に満たす条件を求めるときに更新される、故障情報の更新処理は誤りがいずれか 1 つの信号線に伝搬することを要求している場合(单一伝搬)と、複数の信号線に同時に誤りが伝搬することを要求している場合(多重伝搬)とで異なりそれぞれ次のような処理を行なう。

- 単一伝搬の場合

- 新しい直接伝搬故障情報は、各テスト候補の直接伝搬故障情報に含まれる故障で構成する。

- 新しいファンアウト故障情報は、各テスト候補の同一の FOS に対するファンアウト故障情報ごとに、

- \* すべての FOS が誤りの伝搬を示している場

```

< テスト候補 > ::= '{' < テスト入力パターン > '}' '[' < 故障情報 > ']'
< テスト入力パターン > ::= < 入力 > | < 入力 >< テスト入力パターン >
< 入力 > ::= < 信号線名 > '→' < 信号値 >
< 故障情報 > ::= '(' < 直接伝搬故障情報 > ')' < 故障情報 >
< 故障情報' > ::= empty | '(' < ファンアウト故障情報 > ')' < 故障情報' >
< 直接伝搬故障情報 > ::= empty | < 故障 >< 直接伝搬故障情報 >
< 故障 > ::= < 信号線名 > '→' < 誤り >
< ファンアウト故障情報 > ::= '<' < ファンアウト情報 > '>'
                                '|<' < ファンアウト情報 > '>' < ファンアウト故障情報' >
< ファンアウト故障情報' > ::= empty | < 故障 >< ファンアウト故障情報' >

```

図 3: テスト候補

合は、ファンアウト情報としてそのFOSの誤りを示し、各ファンアウト故障情報に含まれる故障でファンアウト故障情報を構成する。

- \* すくなくとも1つのFOSが正常値の伝搬を示している場合は、ファンアウト情報としてその正常値を示し、故障を含まないファンアウト故障情報を構成する。

#### • 多重伝搬の場合

- 新しい直接伝搬故障情報は、空にする。
- 新しいファンアウト故障情報は、各テスト候補の同一のFOSに対するファンアウト故障情報ごとに、
  - \* 同時に誤りが伝わるとしているすべての信号線のテスト候補にそのファンアウト故障情報が含まれ、かつすべてのFOSが誤りの伝搬を示している場合、ファンアウト情報としてそのFOSの誤りを示し、各ファンアウト故障情報に含まれる故障でファンアウト故障情報を構成する。
  - \* 同時に誤りが伝わるとしている信号線のうち一部のテスト候補に含まれるファンアウト故障情報、およびすくなくとも1つのFOSが正常値の伝搬を示しているファンアウト故障情報は、ファンアウト情報として故障のないときの正常値を示し、故障を含まないファンアウト故障情報を構成する。

例えば、図1の回路で、L2に誤り(1→0)が現れるためのテスト候補として、

{ L6→1 } [ ( L2→D ) ( < L6→D > L6→D ) ]

L3に正常値0が現れるためのテスト候補として、

{ L6→1 L5→1 } [ ()( < L6→1 > ) ]

が得られたとき、NORゲートの入力が{ L2 = D, L3 = 0 }となるためのテスト候補は、

{ L6→1 L5→1 } [ ( L2→D ) ( < L6→1 > ) ]

になる。

## 3 シミュレーションによる効率評価

並列処理によりどのような速度向上が得られるかを評価するため、本テスト生成法の並列システム上での動作のシミュレーションを行なった。

テスト生成のAND処理、OR処理に要する時間は、処理するテスト候補によって変化するため、実際にテスト候補作成を行なわなければ評価できない。しかし、シミュレーションの対象とする並列システムのパラメータを変化させるたびにテスト生成処理を行なって処理時間を決定した場合、1回のシミュレーションにかかる時間が大きくなってしまう。そこで、我々はテスト生成の処理をモデル化し、单一プロセッサ上の処理時間の記録を用いて、並列処理のシミュレーションを行なった。

### 3.1 テスト生成処理のモデル

OR処理、AND処理は、親子関係にある処理とのデータの受渡しに注目すると、いずれも、

1. 親処理から受けとった信号線の状態パターンから子処理へ渡す状態パターンを作成する。
2. 子処理を起動し、処理終了を待つ。

3. 子処理から受けとった処理結果から親処理へ渡すテスト候補を作成する。

という処理になる。ここで、子処理の起動は一度に行ない、子処理からの結果がすべて揃ってからテスト候補作成を行なうとし、処理のモデルを、

1. 処理が起動されて  $T_1$  時間後に子処理の起動を行なう。
2. 子処理の処理結果がすべて得られてから  $T_2$  時間後に処理を終了し、処理結果を親処理に送る。

と定める。処理時間  $T_1, T_2$  は单一プロセッサ上で実際にテスト生成処理を行ない、各処理にかかった時間を記録することにより定める。また、処理の起動は親処理からの固定長のメッセージの到着により行なわれる。処理結果の受渡しのメッセージ長は、実際のテスト生成処理で記録したテスト候補の大きさに比例するものとする。

### 3.2 並列処理システムのモデル

シミュレーションの対象とする並列処理システムのモデルを次のように定める。

- システムの構成は、 $2^n$  個 ( $n = 1, 2, 3, \dots$ ) の PE がハイパーキューブ接続されたもの、あるいは、 $2^{2m}$  個 ( $m = 1, 2, 3, \dots$ ) の PE が  $2^m \times 2^m$  のメッシュ(同一行、同一列でのラップアラウンドを持つ)接続されたものである。
- 各 PE は独立した処理を行なうことができる。
- PE 間の通信路は双方向である。
- 各 PE での処理と並行して、通信を行なうことができる。
- 1 つの PE に複数の処理が割り当てられた場合、ランダムビン式のマルチタスクで処理される。

### 3.3 プロセッサへの処理の割り当て

本テスト生成法では、複数の AND 処理において、同一の信号線の同一状態に対する OR 処理の処理結果を必要とする場合がある。このとき、それについてひとつづつ OR 処理を起動すると、処理の数が指数的に増えることになる。そこで、各信号線の一状態に対する OR 処理はただ一つだけ起動し、処理結果の共有を行なう。

OR 処理の処理結果を共有するためには、AND 処理は同一の PE に対して OR 処理の起動を要求しなければならない。しかし、AND 処理間で PE への OR 処理の割り当ての統一をとることは困難である。ここで、OR 処理の祖父となる OR 処理に注目すると、ファンアウトシステム(FOS)以外の処理を行なう OR 処理は同一の祖父を持つことから、OR 処理の PE への割り当ては祖父の OR 処理により決定

可能である。一方、FOS の処理を行なう OR 処理は複数の祖父を持ち、祖父による割り当てができない。このような OR 処理は、全処理の起動前にあらかじめ割当を決定しておくことにする。また、AND 処理については処理結果の共有を行なわないため、親である OR 処理が PE への割り当てを決定する。

並列処理システムがハイパーキューブ接続の場合、各処理の PE への割り当ては次のようにして決定する。ただし総 PE 数は  $2^n$  とし、各 PE のアドレスを  $(a_{n-1}a_{n-2}\dots a_1a_0)$  とする。

#### • OR 処理の割り当て:

まず、レベル  $i$  の PE:  $(a_{n-1}a_{n-2}\dots a_j\dots a_1a_0)$  が自分自身と PE:  $(a_{n-1}a_{n-2}\dots \bar{a}_j\dots a_1a_0)$  ( $j = i \bmod n$ ) に接続された 2 進木を考える。FOS および PO の処理を行なう OR 処理は、その数が  $k(2^{l-1} < k \leq 2^l)$  個であれば、レベル  $l$  の PE に割り当てる。それ以外の OR 処理は割り当てを行なう PE のレベルが  $i$ 、割り当てる OR 処理の数が  $k(2^{l-1} < k \leq 2^l)$  個のとき、割当を行なう PE の 2 レベル上 ( $i - 2$  レベル) の PE から分岐するレベル ( $i - 2 + l$ ) の PE に割り当てる。

#### • AND 処理の割り当て:

AND 処理は、その子供である OR 処理への経路上に割り当てる、

また、並列処理システムがメッシュ接続の場合、各処理の PE への割り当ては次のようにして決定する。ただし PE は  $2^n$  行  $2^n$  列のメッシュを構成し、アドレスは  $(x, y)$  ( $0 \leq x, y \leq (2^n - 1)$ ) で与えられるものとする。

#### • OR 処理の割り当て:

各信号線につき 1 つの処理の割り当てを次のように行ない、同一信号線の他状態の処理は、割り当てられた PE のアドレスが  $(x, y)$  のとき  $(x+1, y)$ ,  $(x, y+1)$ ,  $(x+1, y+1)$  に割り当てる。

まず、PO および FOS の処理を PE 間の距離が最大になるように割り当てる。つぎに割り当てられた PE をルート (レベル 0) として、レベル  $i$  の PE:  $(x, y)$  が、 $i$  が偶数の場合 PE:  $(2x+1, y)$  および PE:  $(2x-1, y)$ 、 $i$  が奇数の場合 PE:  $(x, 2y+1)$  および PE:  $(x, 2y-1)$  に接続された 2 進木を考える。各 PE が自分の孫の処理として割り当てる OR 処理の対象とする信号線数が  $k(2^{l-1} < k \leq 2^l)$  個のとき、その PE から分岐し 1 レベル下の PE に OR 処理を割り当てる。

#### • AND 処理の割り当て:

AND 処理は、親である OR 処理の PE に隣接する 4 つの PE に割り当てる。

### 3.4 シミュレーション結果

7483(4bit full adder), 7485(4bit magnitude comparator), 74181(4bit ALU), および 74630(ECC) のパリティジェネレータ部の 4 つの回路を対象としてテスト生成処理を行ない、次式で表される PE<sub>n</sub> 台の相対処理速度をシミュレーションにより求めた結果を図 4, 5 に示す。なお、シミュレーションにあたって、PE 間の通信速度は、PE1 台の処理速度を処理時間計測に使用したワークステーション (SUN3/60) と同程度とすると、約 500KByte/sec に相当するように設定した。

$$\text{PE}_n \text{ 台の相対処理速度} = \frac{\text{PE1 台の処理時間}}{\text{PE}_n \text{ 台の処理時間}}$$

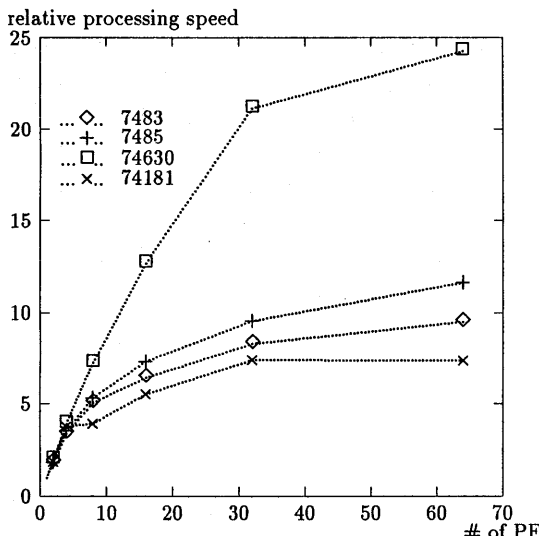


図 4: ハイパーキューブ接続での相対処理速度 vs PE 数

ハイパーキューブ接続 メッシュ接続のいずれのシステムでも並列処理により処理速度の向上が得られることが確認される。74630 は特に処理速度向上が大きいが、この回路は回路の大きさに対して PI から PO までのゲート段数が少なく、並列に処理できる信号線が多いめだと考えられる。

また、74181 ではハイパーキューブ接続よりもメッシュ接続の方が大きい相対処理速度を得ている場合があり、現行の PE への処理の割り当て方法に問題があることが分かる。

### 4 まとめ

並列システム上での論理論理回路の検査入力生成法として、回路に故障の影響が伝搬する条件を回路出力から入力に向かって逆向きにたどることにより問題の分割を行なう方法を提案した。またハイパーキューブ接続、メッシュ接続の並列システム上での処理時間短縮の効果を計算機シミュ

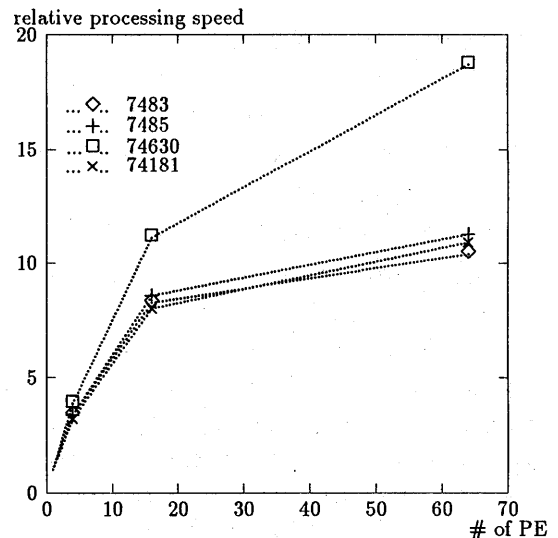


図 5: メッシュ接続での相対処理速度 vs PE 数

レーションにより確認した。また、現在の PE への処理の割り当て方法に改善の余地があることも分かった。今後は、より効率的な処理の割り当て方法について考えていくたい。

### 参考文献

- 1) J. P. Roth: "Diagnosis of automata failures: a calculus and a method", IBM J. Res. & Dev., 10, 4, pp. 278-291 (July 1966).
- 2) P. Goel: "An implicit enumeration algorithm to generate tests for combinational logic circuits", In Proc. 10th Int. Symp. Fault-Tolerant Comput., pp. 145-151 (Oct. 1980).
- 3) H. Fujiwara and T. Shimono: "On the acceleration of test generation algorithms", IEEE Trans. Comput., C-32, 12, pp. 1137-1144 (Dec. 1983).
- 4) M. H. Schulz and E. Auth: "Advanced automatic test pattern generation and redundancy identification techniques", In 18th Int. Symp. Fault-tolerant Comp., pp. 30-35, IEEE (June 1988).
- 5) H. Fujiwara and A. Motohara: "Fast test pattern generation using a multiprocessor system", Trans. IEICE, E 71, 4, pp. 441-447 (April. 1988).
- 6) S. Patil and P. Banerjee: "Fault partitioning issues an intergrated parallel test generation/fault simulation environment", In Proc. Int. Test Conf., pp. 718-726, IEEE (1989).